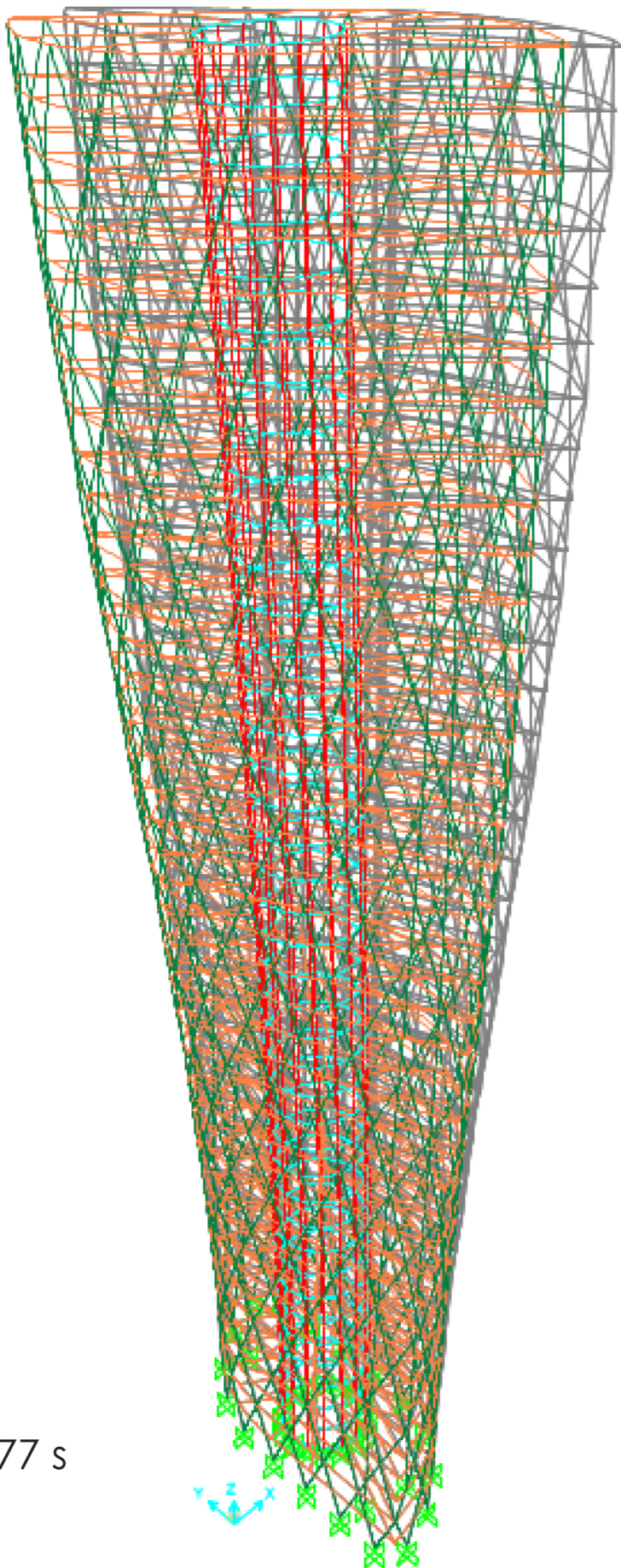
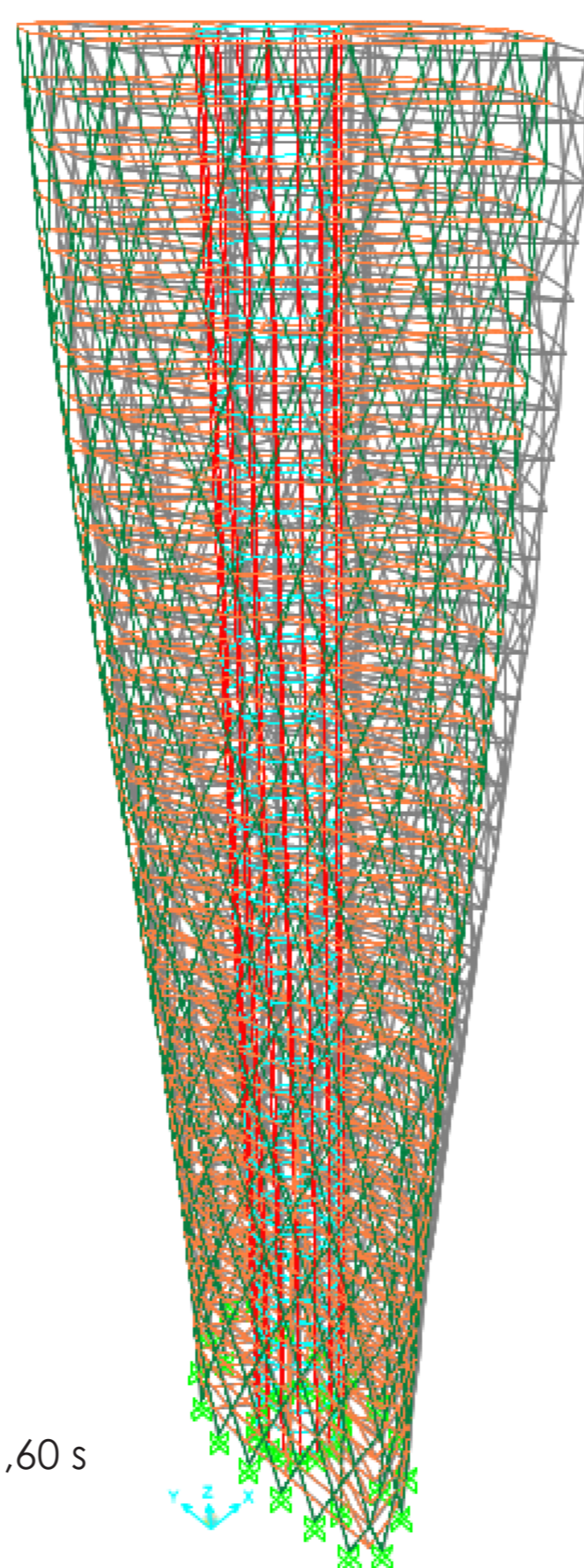


MODO 1



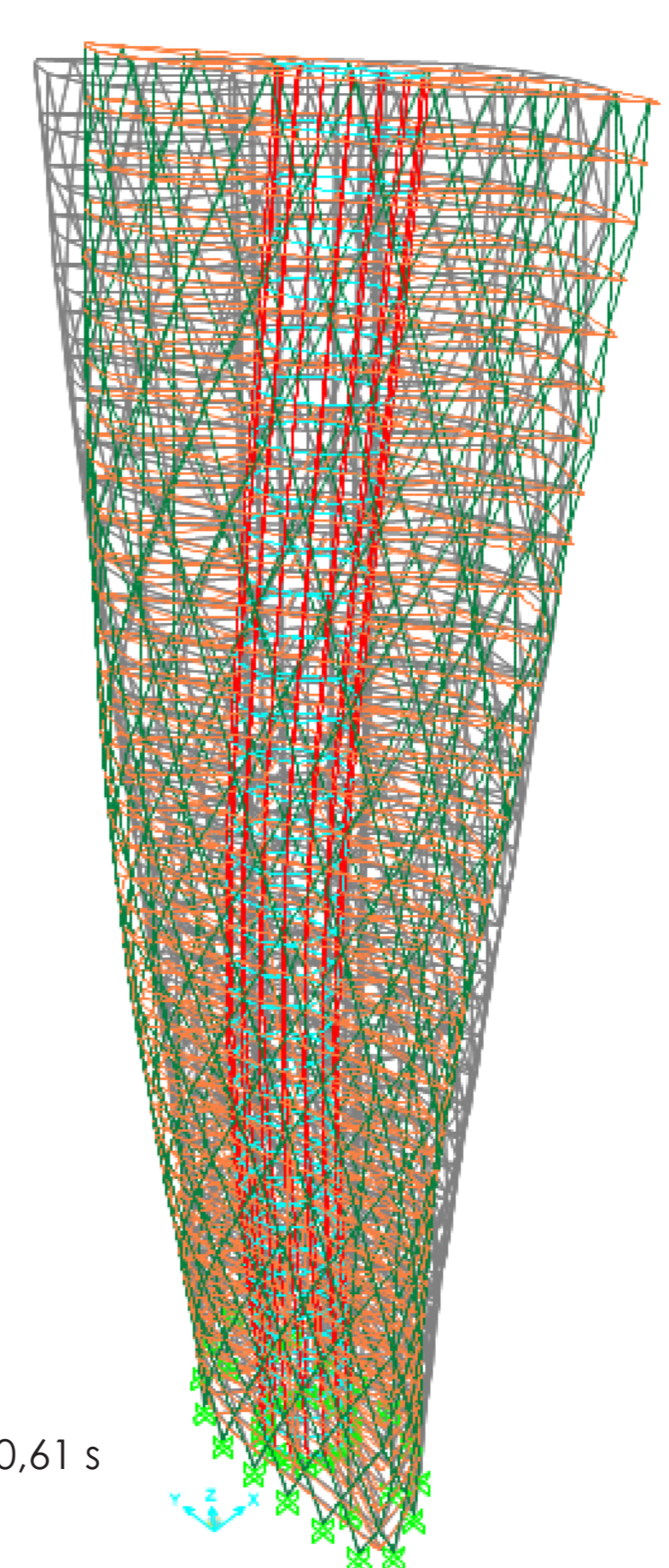
MODO 1
Periodo: 2,77 s

MODO 2



MODO 2
Periodo: 1,60 s

MODO 3



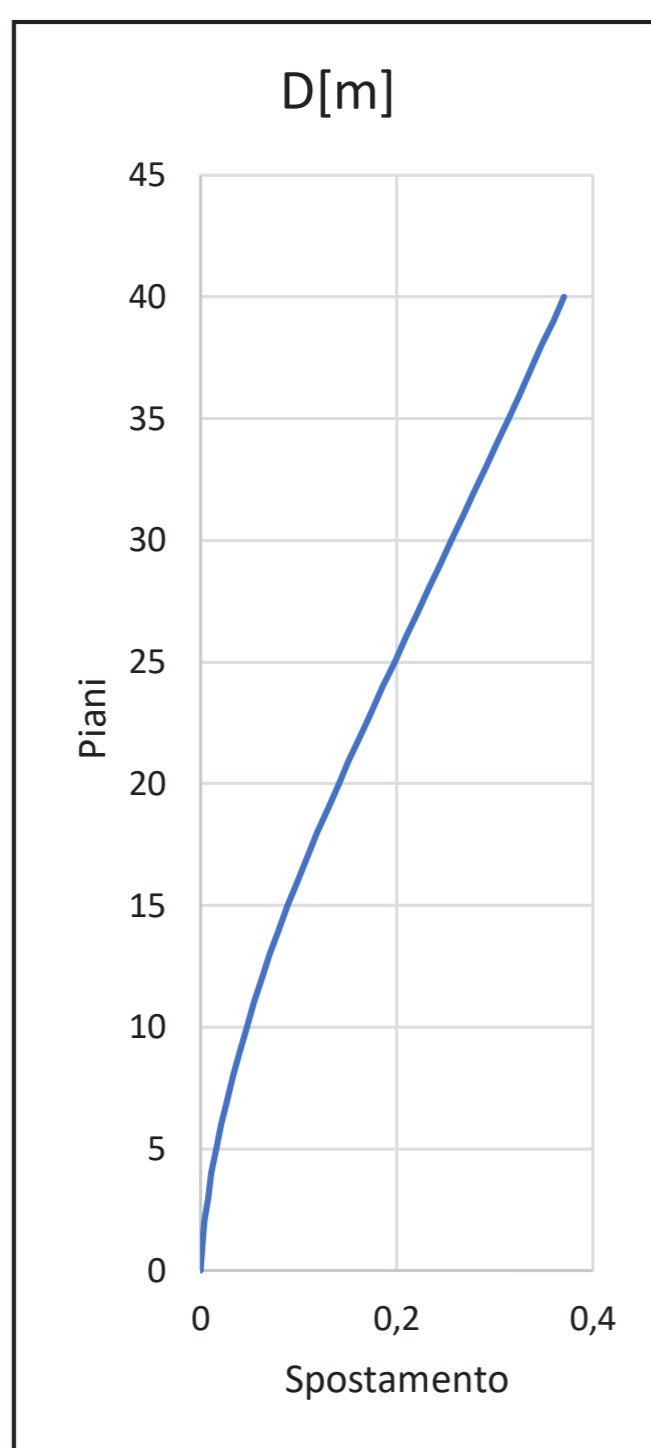
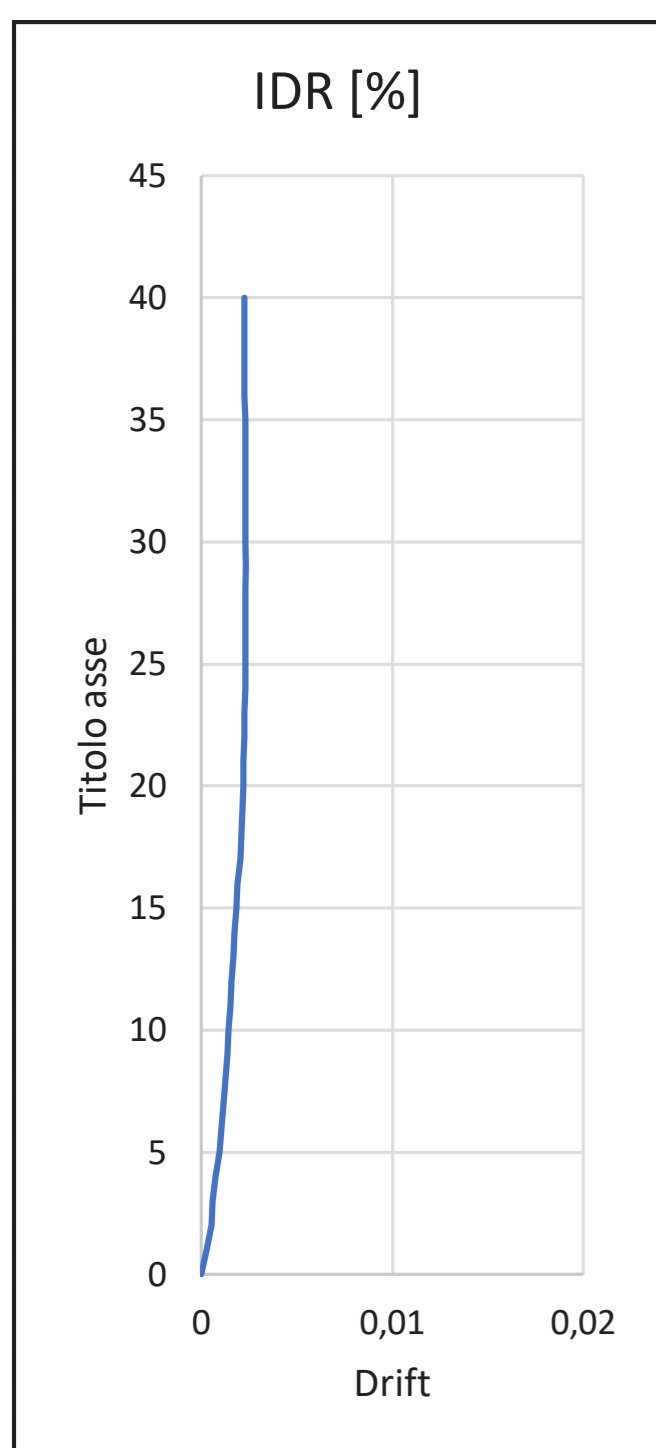
MODO 3
Periodo: 0,61 s

12 MODI DELLA STRUTTURA

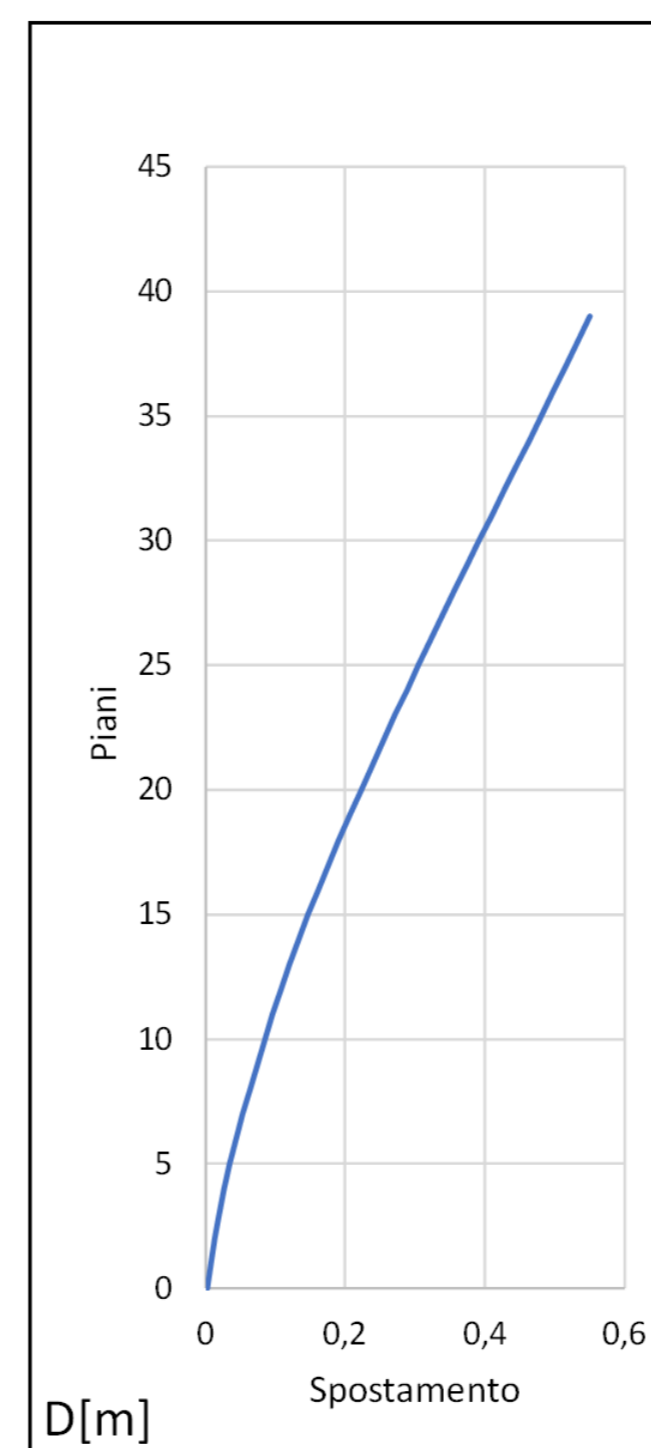
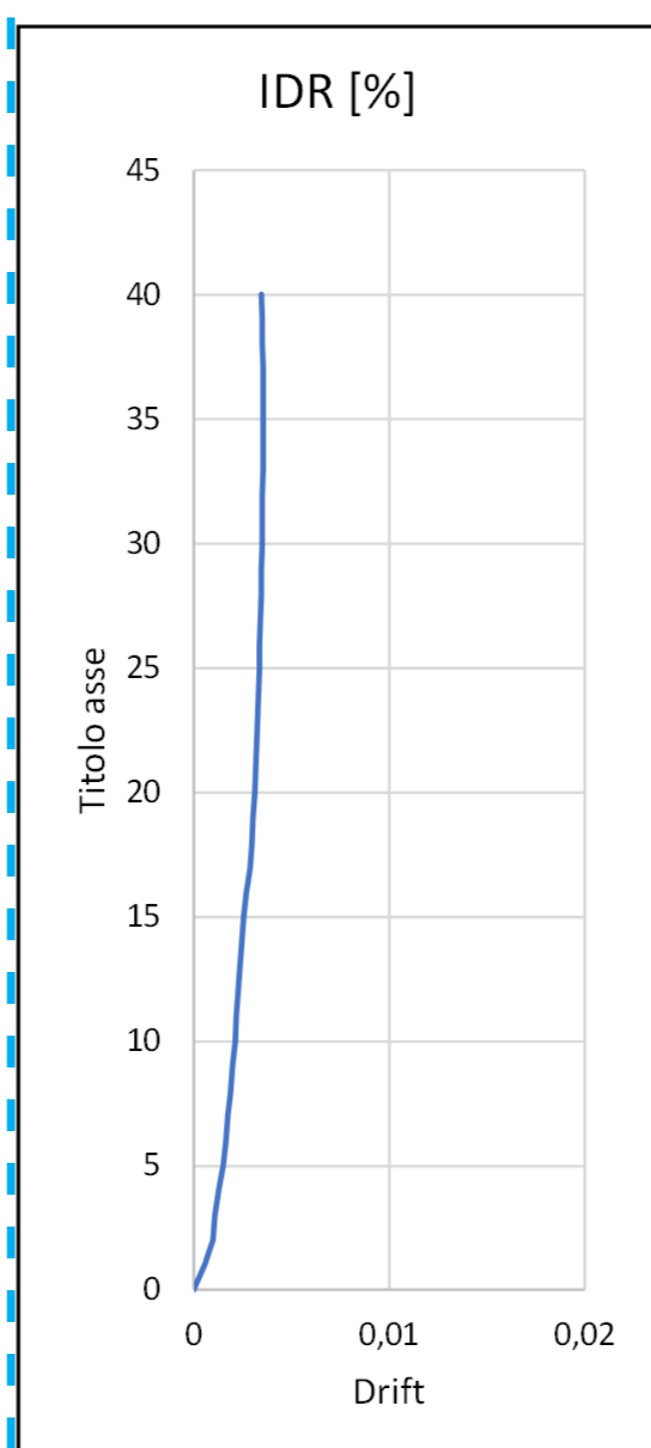
TABLE: Modal Participating Mass Ratios

| OutputCase | StepType | StepNum | Period | UX | UY | UZ | SumUX | SumUY | SumUZ | RX | RY | RZ | SumRX | SumRY | SumRZ |
|------------|----------|----------|----------|------------|------------|-----------|----------|----------|-----------|-----------|------------|------------|----------|----------|------------|
| Text | Text | Unitless | Sec | Unitless | Unitless | Unitless | Unitless | Unitless | Unitless | Unitless | Unitless | Unitless | Unitless | Unitless | Unitless |
| MODAL | Mode | 1 | 2,673777 | 0,58469 | 0,0207 | 1,298E-07 | 0,58469 | 0,0207 | 1,298E-07 | 0,01356 | 0,39332 | 1,053E-06 | 0,01356 | 0,39332 | 1,053E-06 |
| MODAL | Mode | 2 | 1,602241 | 0,01013 | 0,58658 | 2,624E-08 | 0,59483 | 0,60729 | 1,56E-07 | 0,37973 | 0,02459 | 2,27E-07 | 0,39328 | 0,41791 | 0,00000128 |
| MODAL | Mode | 3 | 0,616896 | 0,23514 | 0,00324 | 3,479E-06 | 0,82996 | 0,61053 | 3,635E-06 | 0,00614 | 0,22442 | 0,0014 | 0,39943 | 0,64233 | 0,00141 |
| MODAL | Mode | 4 | 0,609176 | 0,00046 | 4,613E-06 | 0,00091 | 0,83042 | 0,61054 | 0,00091 | 8,573E-05 | 0,0004 | 0,72649 | 0,39951 | 0,64274 | 0,7279 |
| MODAL | Mode | 5 | 0,436709 | 0,00282 | 0,21403 | 3,512E-07 | 0,83324 | 0,82456 | 0,00091 | 0,22875 | 0,00601 | 0,00005102 | 0,62826 | 0,64875 | 0,72795 |
| MODAL | Mode | 6 | 0,408684 | 0,0003351 | 0,00051 | 2,114E-07 | 0,83328 | 0,82508 | 0,00091 | 0,00055 | 0,00008105 | 0,00008106 | 0,62881 | 0,64883 | 0,72803 |
| MODAL | Mode | 7 | 0,3366 | 6,62E-08 | 1,521E-06 | 0,00029 | 0,83328 | 0,82508 | 0,0012 | 1,681E-05 | 4,415E-07 | 2,627E-09 | 0,62883 | 0,64883 | 0,72803 |
| MODAL | Mode | 8 | 0,283782 | 0,0646 | 0,01487 | 0,0000276 | 0,89787 | 0,83995 | 0,00121 | 0,02056 | 0,10736 | 2,917E-06 | 0,64939 | 0,75619 | 0,72803 |
| MODAL | Mode | 9 | 0,275971 | 0,00001583 | 0,00003049 | 0,03098 | 0,89789 | 0,83998 | 0,03219 | 2,479E-05 | 3,219E-07 | 0,0004 | 0,64941 | 0,75619 | 0,72843 |
| MODAL | Mode | 10 | 0,273718 | 9,803E-06 | 0,00005259 | 0,0131 | 0,8979 | 0,84003 | 0,04529 | 8,298E-05 | 9,751E-06 | 0,00019 | 0,6495 | 0,7562 | 0,72862 |
| MODAL | Mode | 11 | 0,238619 | 2,258E-07 | 2,594E-07 | 0,00036 | 0,8979 | 0,84003 | 0,04565 | 5,16E-06 | 4,57E-07 | 1,063E-07 | 0,6495 | 0,7562 | 0,72862 |
| MODAL | Mode | 12 | 0,238206 | 3,148E-07 | 4,857E-07 | 0,00035 | 0,8979 | 0,84003 | 0,046 | 4,07E-06 | 6,033E-07 | 5,169E-06 | 0,64951 | 0,7562 | 0,72863 |

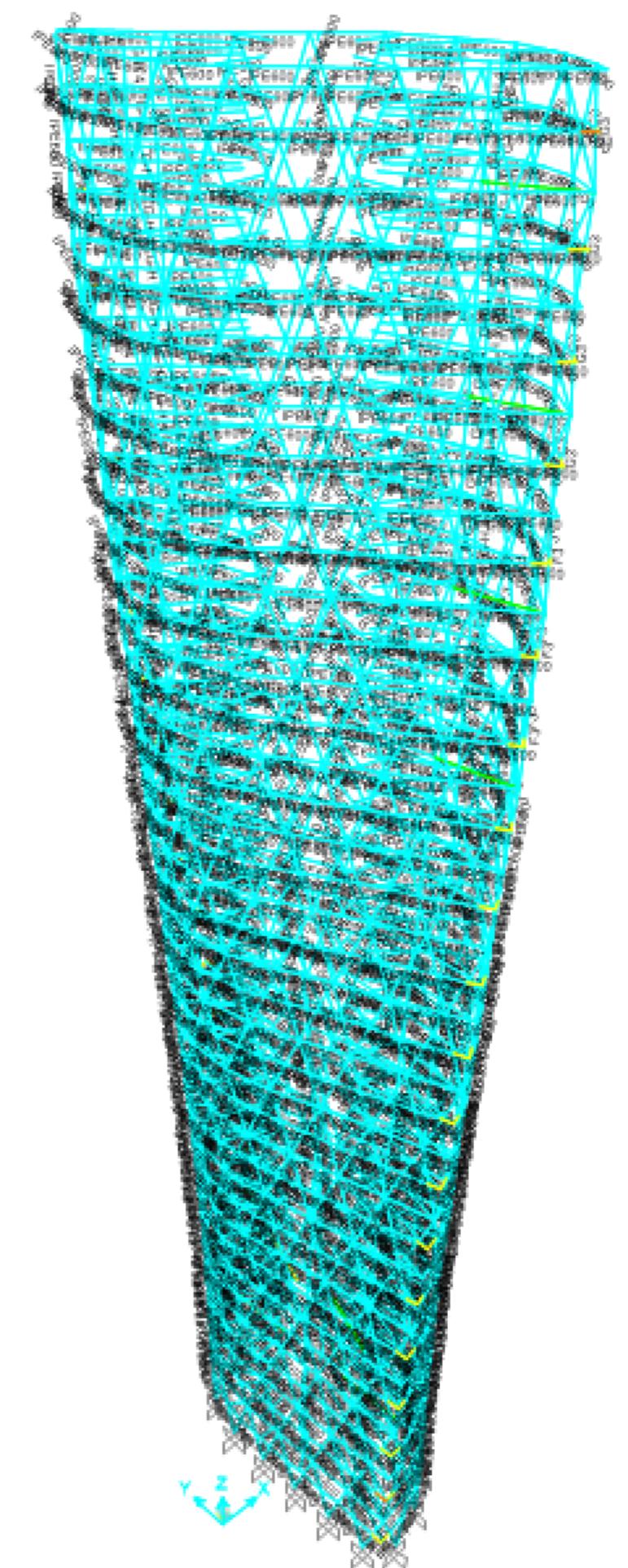
DRIFT-SPOST. COMBO. FONDAMENTALE



DRIFT-SPOST. COMBO. SISMICA



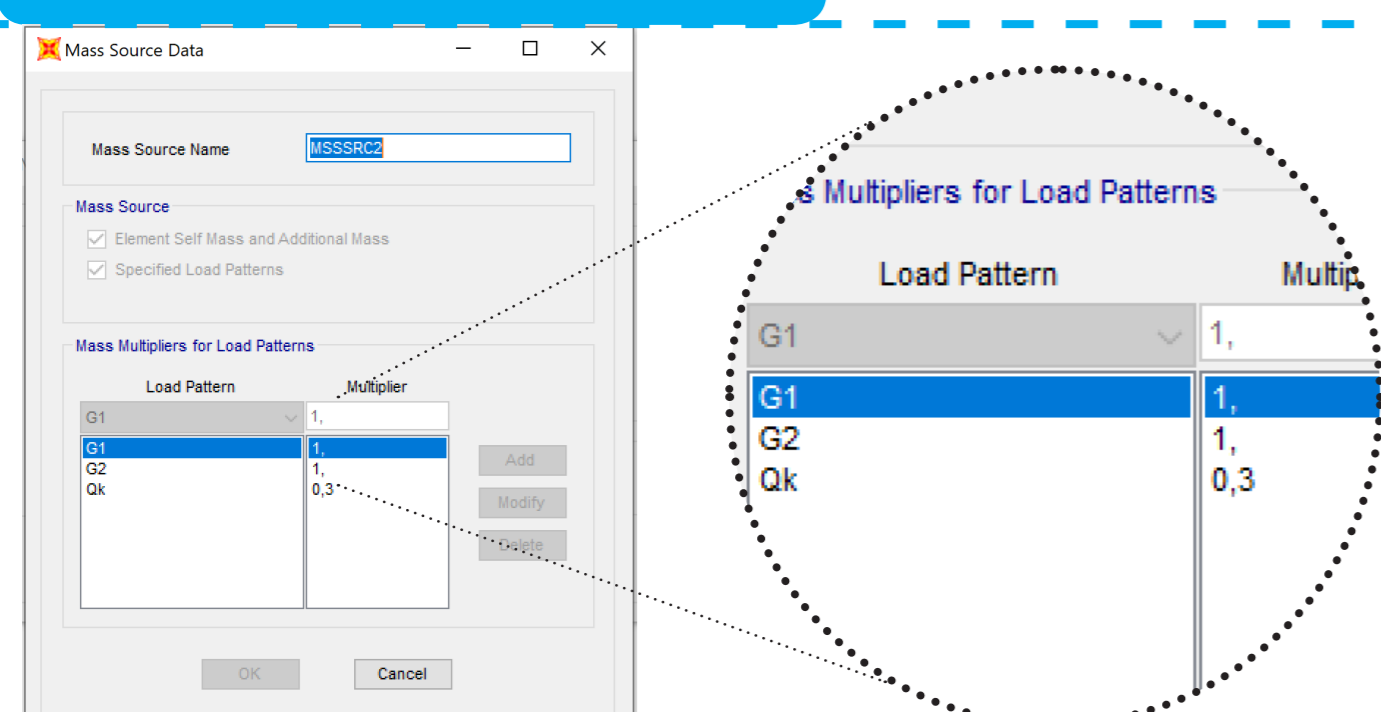
VERIFICA DELLE SEZIONI



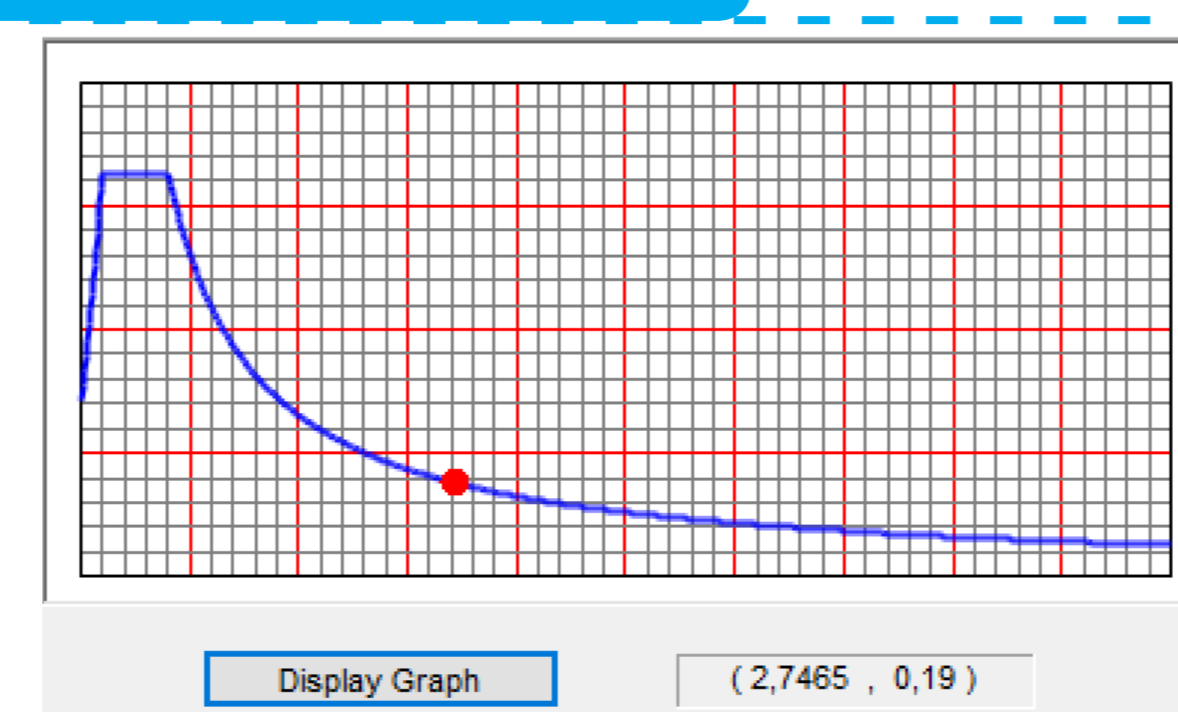
| COMBINAZIONE FONDAMENTALE | P | V2 | V3 | T | M2 | M3 |
|---------------------------|----------|----------|----------|---------|----------|----------|
| NUCLEO | 115205,8 | 13455,99 | 2707,422 | 14,4285 | 6440,449 | 48786,25 |
| DIAGRID | 373230,2 | 3411,678 | 5650,516 | 6963,83 | 39642,29 | 21336,24 |

| COMBINAZIONE SISMICA | P | V2 | V3 | T | M3 |
|----------------------|----------|----------|----------|----------|----------|
| NUCLEO | 30641,96 | 22608,28 | 496,3452 | 67506,67 | 100464,5 |
| DIAGRID | 13796,54 | 15368,82 | 16874,96 | 99461,75 | 85962,47 |

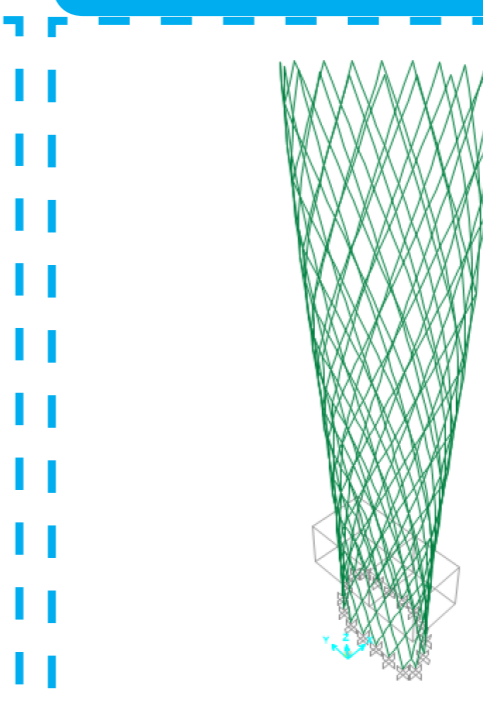
MASSE PARTECIPANTI



SPETTRO DI RISPOSTA OSAKA- STRUTTURA



DIAGRID



NUCLEO

